

# Métodos numéricos para EDPs – trabalho final

Leonardo de Oliveira Carvalho

5 de julho de 2010

## 1 Solução numérica da Equação de Poisson

Considere a equação de Poisson  $\Delta u(x, y) = f(x, y)$  para  $(x, y) \in \Omega$ , com condição de contorno de Dirichlet  $u(x, y) = g(x, y)$  para  $(x, y) \in \partial\Omega$ . Vamos encontrar uma solução discreta para esta equação em um domínio  $\Omega$  retangular, usando três métodos distintos.

### 1.1 Discretização da equação de Poisson

Vamos inicialmente descrever um operador de diferenças aproximando o operador Laplaciano numa grade no plano  $xy$ , com  $N_x$  pontos na direção  $x$  e  $N_y$  pontos na direção  $y$ .

Através das equações

$$u_{xx}(x_i, y_j) = \frac{u(x_{i-1}, y_j) - 2u(x_i, y_j) + u(x_{i+1}, y_j))}{\Delta x^2} + \mathcal{O}(\Delta x^2),$$
$$u_{yy}(x_i, y_j) = \frac{u(x_i, y_{j-1}) - 2u(x_i, y_j) + u(x_i, y_{j+1}))}{\Delta y^2} + \mathcal{O}(\Delta y^2),$$

podemos definir o Laplaciano discreto  $\Delta_D$  como

$$(\Delta_D(u))_{i,j} = \frac{u_{i-1,j} - 2u_{i,j} + u_{i+1,j}}{\Delta x^2} + \frac{u_{i,j-1} - 2u_{i,j} + u_{i,j+1}}{\Delta y^2}, \quad i = 1, \dots, N_x, j = 1, \dots, N_y.$$

Onde  $u_{0,j}, u_{i,0}, u_{N_x+1,j}$  e  $u_{i,N_y+1} = 0$  são definidos pela condição de contorno.

Quando  $\Delta x = \Delta y = \Delta s$  teremos

$$(\Delta_D(u))_{i,j} = \frac{1}{\Delta s^2} (u_{i-1,j} + u_{i+1,j} - 4u_{i,j} + u_{i,j-1} + u_{i,j+1}) \quad i = 1, \dots, N_x, j = 1, \dots, N_y.$$

Para a equação de Poisson discreta  $\Delta_D u = f$ , tem-se para cada  $i = 1, \dots, N_x, j = 1, \dots, N_y$

$$(\Delta_D(u))_{i,j} = f_{i,j}$$
$$\frac{1}{\Delta s^2} (u_{i-1,j} + u_{i+1,j} - 4u_{i,j} + u_{i,j-1} + u_{i,j+1}) = f_{i,j}$$
$$u_{i-1,j} + u_{i+1,j} - 4u_{i,j} + u_{i,j-1} + u_{i,j+1} = \Delta s^2 f_{i,j}.$$

Sejam as condições de contorno dadas por

$$u_{0,j} = l_j,$$
$$u_{N_x+1,j} = r_j,$$
$$u_{i,0} = b_i,$$
$$u_{i,N_y+1} = t_i.$$

Para pontos vizinhos ao bordo é possível separar os valores conhecidos das variáveis no sistema de equações visto acima. Por exemplo para  $i = 1$  e  $j = 1$  tem-se

$$\begin{aligned} u_{0,1} + u_{2,1} - 4u_{1,1} + u_{1,0} + u_{1,2} &= \Delta s^2 f_{1,1} \\ l_1 + u_{2,1} - 4u_{1,1} + b_1 + u_{1,2} &= \Delta s^2 f_{1,1} \\ u_{2,1} - 4u_{1,1} + u_{1,2} &= \Delta s^2 f_{1,1} - l_1 - b_1. \end{aligned}$$

Vamos reescrever este sistema no formato matricial, para isso os valores de  $u$  são colocados numa matriz coluna  $v$ , onde teremos  $v_k = u_{i,j}$  seguindo a relação  $k = i + (j - 1)Ny$ . Desta forma teremos

$$\begin{aligned} u_{i-1,j} &= v_{k-1}, & \text{se } i > 1 \\ u_{i+1,j} &= v_{k+1}, & \text{se } i < Nx \\ u_{i,j-1} &= v_{k-Ny}, & \text{se } j > 1 \\ u_{i,j+1} &= v_{k+Ny}, & \text{se } j < Ny. \end{aligned}$$

O sistema pode ser escrito então como  $Av = b$ , onde  $b$  corresponde aos valores de  $\Delta s^2 f$  subtraídos das condições de contorno em pontos vizinhos, e  $A$  é uma matrix quadrada ( $N_x N_y \times N_x N_y$ ), com o valor  $-4$  na diagonal principal, e cada linha  $k$  de  $A$  tem o valor 1 nas posições  $k - 1$ ,  $k + 1$ ,  $k - Ny$  e  $k + Ny$ , com exceção das posições correspondentes à borda do domínio de  $u$ . Por exemplo, para  $Nx = 3$  e  $Ny = 4$  teremos

$$A = \begin{pmatrix} -4 & 1 & 0 & 1 & 0 & 0 & 0 & 0 & 0 & 0 & 0 & 0 \\ 1 & -4 & 1 & 0 & 1 & 0 & 0 & 0 & 0 & 0 & 0 & 0 \\ 0 & 1 & -4 & 0 & 0 & 1 & 0 & 0 & 0 & 0 & 0 & 0 \\ 1 & 0 & 0 & -4 & 1 & 0 & 1 & 0 & 0 & 0 & 0 & 0 \\ 0 & 1 & 0 & 1 & -4 & 1 & 0 & 1 & 0 & 0 & 0 & 0 \\ 0 & 0 & 1 & 0 & 1 & -4 & 0 & 0 & 1 & 0 & 0 & 0 \\ 0 & 0 & 0 & 1 & 0 & 0 & -4 & 1 & 0 & 1 & 0 & 0 \\ 0 & 0 & 0 & 0 & 1 & 0 & 1 & -4 & 1 & 0 & 1 & 0 \\ 0 & 0 & 0 & 0 & 0 & 1 & 0 & 1 & -4 & 0 & 0 & 1 \\ 0 & 0 & 0 & 0 & 0 & 0 & 1 & 0 & 0 & -4 & 1 & 0 \\ 0 & 0 & 0 & 0 & 0 & 0 & 0 & 1 & 0 & 1 & -4 & 1 \\ 0 & 0 & 0 & 0 & 0 & 0 & 0 & 0 & 1 & 0 & 1 & -4 \end{pmatrix}.$$

Como  $A$  é uma matriz esparsa, ao implementarmos o método no computador, podemos utilizar uma estrutura apropriada para este tipo de dado, evitando o armazenamento desnecessário de muitos valores nulos, e otimizando os cálculos que serão feitos. A matriz  $A$  pode ser gerada no MATLAB através do seguinte código:

```
function A = Laplacian(Nx, Ny)
    T = Nx*Ny;
    D = sparse(1:T, 1:T, -4*ones(1, T), T, T);
    E = sparse(2:T, 1:T-1, ones(1, T-1), T, T);
    for i = Nx:Nx:T-1
        E(i+1, i) = 0; % Eliminate boundary values.
    end
    F = sparse(Nx+1:T, 1:T-Nx, ones(1, T-Nx), T, T);
    A = F+E+D+E'+F';
end
```

A seguir serão discutidos alguns métodos para resolução de sistemas lineares.

## 1.2 Solução direta

Neste método calcula-se a solução exata do sistema. No MATLAB isto pode ser feito através do comando `mldivide`, ou, da mesma forma, pelo operador *backslash* através do comando  $v = A \backslash b$ .

## 1.3 Solução por métodos iterativos

Métodos iterativos para resolução de um sistema linear  $Av = b$  podem ser descritos por

$$Qv^n = (Q - A)v^{n-1} + b,$$

para alguma matriz  $Q$ , escolhida de forma que seja simples encontrar  $v^n$  a cada iteração, como uma matriz diagonal ou triangular, e que quando  $n \rightarrow \infty$   $v^n \rightarrow v$ , e portanto no limite tem-se

$$\begin{aligned} Qv &= (Q - A)v + b \\ Av &= b \end{aligned}$$

Ou seja,  $v^n$  converge à solução do sistema.

### 1.3.1 Gauss-Seidel

O método iterativo de Gauss-Seidel consiste em escolher  $Q$  como sendo a matriz triangular inferior da matriz  $A$  [3].

Este método pode ser implementado em MATLAB através do seguinte código:

```
function x = GaussSeidel(A, b, e)
    Q = tril(A);
    QA = Q-A;
    x = zeros(size(A,1), 1);
    err = e+1;
    while err > e
        lastx = x;
        x = Q\(QA*x + b);
        err = norm(x - lastx, inf)/norm(lastx, inf);
    end
end
```

Como  $Q$  é uma matriz triangular inferior, o MATLAB resolve o sistema  $x = Q \backslash (QA * x + b)$  em cada iteração através de uma simples substituição para frente (*forward substitution*).

As iterações se repetem até que o erro relativo seja menor ou igual a  $e$ , quanto menor for este parâmetro, a solução se torna mais próxima da solução exata.

### 1.3.2 SOR

O método SOR (*Successive Over Relaxation*) utiliza  $Q = \alpha D - C$ , onde  $\alpha$  é um valor real,  $D$  é qualquer matriz Hermitiana definida positiva e  $C$  qualquer matriz satisfazendo  $C + C^* = D - A$ , onde  $C^*$  é a conjugada transposta de  $C$ . Se  $A$  for Hermitiana definida positiva,  $Q$  for não-singular e  $\alpha > \frac{1}{2}$  o método converge para qualquer dado inicial [3].

É comum escolher  $C = -L$ , onde  $L$  é a parte triangular inferior de  $A$  (sem a diagonal), e  $D$  como a diagonal de  $A$ . Na literatura, é costume utilizar o parâmetro  $\omega = 1/\alpha$ , escrevendo o método como

$$(D + \omega L)v^{n+1} = \omega b - [\omega U + (\omega - 1)D]v^n,$$

onde  $U$  é a parte triangular superior de  $A$  (sem a diagonal).

O parâmetro  $\alpha$  é um fator de relaxamento, que influencia o resíduo  $r^n = b - Av^n$ , dependendo do valor escolhido,  $r^n$  tende a zero mais rapidamente. É possível ver que quando  $\alpha = 1$  o método

é equivalente ao Gauss-Seidel. Em certos casos é possível determinar o valor ótimo para este parâmetro, isto é, um valor que torne a convergência mais rápida.

O método pode ser implementado em MATLAB com o código:

```
function x = SOR(A, b, alpha, e)
    Q = alpha*diag(diag(A)) + tril(A,-1);
    QA = Q-A;
    x = zeros(size(A,1), 1);
    err = e+1;
    while err > e
        lastx = x;
        x = Q\(QA*x + b);
        err = norm(x - lastx, inf)/norm(lastx, inf);
    end
end
```

Assim como no método de Gauss-Seidel, a matriz  $Q$  é triangular inferior, logo o sistema  $x = Q(QA*x + b)$  é resolvido pelo MATLAB através de substituição para frente.

## 1.4 Experimentos

Foram feitos testes comparando a solução da equação de Poisson utilizando os três métodos descritos acima para resolver o sistema linear.

Para gerar os dados do problema, foi considerada uma equação suave  $h(x, y)$ , de onde calculou-se  $f(x, y) = \Delta h(x, y)$  e os valores de contorno da grade retangular.

Foi utilizado  $h(x, y) = \frac{1}{3}x^3 - \frac{1}{2}x^2 + \frac{3}{16}x + \frac{1}{3}y^3 - \frac{1}{2}y^2 + \frac{3}{16}y$  com  $x \in [0, 1]$   $y \in [0, 1]$ , de onde  $f(x, y) = 2x + 2y - 2$ .

O domínio  $[0, 1] \times [0, 1]$  é discretizado numa grade com  $(N + 2)^2$  pontos, com espaçamento  $\Delta s = 1/(N + 1)$ . O seguinte código em MATLAB calcula  $h$  e  $f$  nesta grade

```
ds = 1/(N+1);
i = 1:N+2;
x = ds*(i-1);
h = zeros(N+2, N+2);
f = h;
for j = 1:N+2
    y = ds*(j-1);
    h(i, j) = x.^3/3 - x.^2/2 + 3/16*x + y.^3/3 - y.^2/2 + 3/16*y;
    f(i, j) = 2*x + 2*y - 2;
end
```

A solução  $u$  pode ser inicializada copiando os valores do bordo de  $h$ , o que pode ser feito com os comandos

```
u = h;
u(2:N+1, 2:N+1) = 0;
```

A matriz  $A$  do sistema é calculada fazendo

```
A = Laplacian(N, N);
```

Para calcular  $b$  basta tomar os valores de  $\Delta s^2 f$  e subtrair os valores das bordas vizinhas, fazendo

```
b = ds*ds*f(2:N+1, 2:N+1);
b(1:N, 1) = b(1:N, 1) - u(2:N+1, 1);
b(1:N, N) = b(1:N, N) - u(2:N+1, N+2);
b(1, 1:N) = b(1, 1:N) - u(1, 2:N+1);
b(N, 1:N) = b(N, 1:N) - u(N+2, 2:N+1);
b = matrix2column(b);
```

Onde o comando `matrix2column` transforma dados matriciais em uma matriz coluna.

Assim, os dados do sistema estão prontos. O sistema é resolvido usando os três métodos descritos acima. O método de Gauss-Seidel foi utilizado com o comando

```
v = GaussSeidel(A,b, 1E-4);
```

Para utilizar o SOR é preciso informar um valor para o parâmetro  $\alpha$ , dependendo da escolha deste parâmetro o método converge mais lentamente ou mais rapidamente. Segundo [2], o valor ótimo para  $\alpha$  neste caso é

$$\alpha = \frac{2 + \sqrt{4 - \left(\cos\left(\frac{\pi}{N_x}\right) + \cos\left(\frac{\pi}{N_y}\right)\right)^2}}{4}.$$

Como estamos trabalhando com  $N_x = N_y = N$ , temos

$$\begin{aligned} \alpha &= \frac{2 + \sqrt{4 - \left(\cos\left(\frac{\pi}{N}\right) + \cos\left(\frac{\pi}{N}\right)\right)^2}}{4} \\ &= \frac{2 + \sqrt{4 - \left(2\cos\left(\frac{\pi}{N}\right)\right)^2}}{4} \\ &= \frac{2 + \sqrt{4 - 4\cos^2\left(\frac{\pi}{N}\right)}}{4} \\ &= \frac{2 + \sqrt{4\sin^2\left(\frac{\pi}{N}\right)}}{4} \\ &= \frac{2 + 2\sin\left(\frac{\pi}{N}\right)}{4} \\ &= \frac{1 + \sin\left(\frac{\pi}{N}\right)}{2}. \end{aligned}$$

Como a convergência do método SOR é garantida para qualquer dado inicial para matrizes definidas positivas, trabalhamos então com o sistema equivalente  $-Av = -b$ , pois a matriz  $A$  é definida negativa. Então o SOR é executado fazendo-se

```
v = SOR(-A,-b, 0.5*(1 + sin(pi/N)), 1E-4);
```

O problema foi resolvido para diferentes valores de  $N$ . A tabela abaixo indica o tempo em segundos gasto por cada método para resolver o sistema.

N	10	50	100	150	200
Solução direta	0.000517s	0.015082s	0.083636s	0.157438s	0.267260s
Gauss-Seidel	0.002537s	0.123603s	1.159065s	3.568958s	8.022997s
SOR	0.001192s	0.016260s	0.120293s	0.396335s	1.011407s

Tabela 1: Tempo gasto por cada método para resolver o sistema para diferentes valores de  $N$ .

Percebe-se que em geral a solução direta obtém o resultado mais rápido, pois o MATLAB utiliza algoritmos otimizados para resolver sistemas lineares. Entre os métodos iterativos, o método SOR é sempre mais rápido do que o Gauss-Seidel, evidenciando o efeito do parâmetro de relaxamento na aceleração do método.

Também é interessante analisar o número de iterações realizadas por cada método, o que é mostrado na Tabela 2. Verifica-se que a quantidade de iterações realizadas pelo método SOR é significativamente menor do que as efetuadas pelo método de Gauss-Seidel.

N	10	50	100	150	200
Gauss-Seidel	79	901	2171	3051	3423
SOR	24	105	206	306	405

Tabela 2: Número de iterações realizadas por cada método.

Pode-se também analisar o erro nas aproximações, calculando a norma da diferença entre o valor obtido e a solução exata (dada por  $h$ ). Esta informação pode ser vista na Tabela 3.

N	10	50	100	150	200
Solução direta	8.3267e-17	1.0755e-16	2.0123e-16	1.3184e-16	1.5266e-16
Gauss-Seidel	4.4403e-05	0.0011	0.0041	0.0090	0.0148
SOR	8.0175e-06	5.9056e-06	5.9214e-06	6.0767e-06	6.2857e-06

Tabela 3: Erro obtido por cada método.

Observa-se que a solução direta e o método SOR apresentaram pouca variação no erro. A solução direta obteve um erro bem menor do que os métodos iterativos. É possível obter um erro menor diminuindo a cota para o erro relativo nos métodos iterativos, porém isto prejudica o tempo de execução, já que é necessário calcular mais iterações. O método SOR, além de ser mais rápido, também apresenta um erro menor do que o obtido pelo método Gauss-Seidel. Executando o SOR com  $\epsilon = 1E-14$  para  $N = 100$  obtém-se um resultado com erro  $2.2343e-15$  em aproximadamente 0,3 segundos, o que ainda é mais rápido do que o Gauss-Seidel com  $\epsilon = 1E-4$  (que levou mais do que 1 segundo, conforme Tabela 1).

## 2 Ondas aquáticas lineares

### 2.1 Uma relação para a aplicação Dirichlet-Neumann

Consideremos um problema relativo a uma função harmônica  $\phi(x, y)$  definida na faixa  $\Omega = \{(x, y), y \in (-1, 0)\}$ , com condição de contorno de Dirichlet no bordo superior ( $\phi(x, 0) = \psi(x)$ ), e de Neumann no bordo inferior (homogênea). Seja a aplicação Dirichlet-Neumann dada por  $DtN[\psi](x) = \frac{d\phi}{dn}(x, 0)$ .

Podemos escrever  $\phi(x, y) = \int_{-\infty}^{\infty} F_k(y)e^{ikx} dk$ , de onde teremos

$$\Delta\phi(x, y) = \int_{-\infty}^{\infty} \left( -k^2 F_k(y)e^{ikx} + F_k''(y)e^{ikx} \right) dk.$$

Como  $\Delta\phi(x, y) = 0$ , então  $-k^2 F_k(y)e^{ikx} + F_k''(y)e^{ikx} = 0$ , de onde temos

$$-k^2 F_k(y) + F_k''(y) = 0,$$

que é uma EDO cuja solução é:

$$F_k(y) = C_k e^{ky} + D_k e^{-ky},$$

onde  $C_k$  e  $D_k$  são constantes definidas pelas condições de contorno.

Teremos então

$$F_k'(y) = kC_k e^{ky} - kD_k e^{-ky}.$$

Pela condição no bordo inferior teremos  $0 = \frac{d\phi}{dy}(x, -1) = \int_{-\infty}^{\infty} F_k'(-1)e^{ikx} dk$ , logo

$$0 = F_k'(-1) = kC_k e^{-k} - kD_k e^k,$$

de onde tiramos que  $C_k = D_k e^{2k}$ . Usando esta relação podemos reescrever  $F_k$  e  $F_k'$  como

$$\begin{aligned} F_k(y) &= D_k \left( e^{k(y+2)} + e^{-ky} \right), \\ F_k'(y) &= D_k \left( k e^{k(y+2)} - k e^{-ky} \right). \end{aligned}$$

Usando agora as condições do bordo superior e a transformada de Fourier inversa para  $\psi$  teremos

$$\int_{-\infty}^{\infty} F_k(0)e^{ikx} dk = \phi(x, 0) = \psi(x) = \frac{1}{\sqrt{2\pi}} \int_{-\infty}^{\infty} \widehat{\psi}(k)e^{ikx} dk,$$

de onde  $\frac{1}{\sqrt{2\pi}} \widehat{\psi}(k) = F_k(0) = D_k (e^{2k} + 1)$ , e então

$$D_k = \frac{\widehat{\psi}(k)}{(e^{2k} + 1)\sqrt{2\pi}}.$$

Desta forma podemos calcular o operador Dirichlet-Neumann:

$$\begin{aligned} DtN[\psi](x) &= \frac{d\phi}{dy}(x, 0) = \int_{-\infty}^{\infty} F_k'(0)e^{ikx} dk \\ &= \int_{-\infty}^{\infty} D_k (k e^{2k} - k) e^{ikx} dk \\ &= \int_{-\infty}^{\infty} \left( \frac{\widehat{\psi}(k)}{(e^{2k} + 1)\sqrt{2\pi}} \right) (k e^{2k} - k) e^{ikx} dk \\ &= \frac{1}{\sqrt{2\pi}} \int_{-\infty}^{\infty} \left( \frac{e^{2k} - 1}{e^{2k} + 1} \right) k \widehat{\psi}(k) e^{ikx} dk \\ &= \frac{1}{\sqrt{2\pi}} \int_{-\infty}^{\infty} \tanh(k) k \widehat{\psi}(k) e^{ikx} dk. \end{aligned}$$

Como  $ik\widehat{\psi}(k) = \widehat{\psi}_x(k)$  então  $k\widehat{\psi}(k) = -i\widehat{\psi}_x(k)$ , e chegamos então à seguinte relação:

$$DtN[\psi](x) = \frac{1}{\sqrt{2\pi}} \int_{-\infty}^{\infty} -i \tanh(k) \widehat{\psi}_x(k) e^{ikx} dk. \quad (1)$$

## 2.2 Ondas aquáticas dispersivas - solução numérica

Seja o problema de ondas aquáticas dispersivas dado por

$$\beta\phi_{xx} + \phi_{yy} = 0, \text{ em } \Omega_\beta = \{(x, y) \in \mathbb{R}^2; -1 \leq y \leq 0\},$$

com condição de Neumann  $d\phi/dn = 0$  em  $y = -1$ , e na reta  $y = 0$  temos

$$\phi_t = -\eta, \quad \eta_t = \frac{1}{\beta}\phi_y.$$

$\eta(x, t)$  indica a elevação da superfície do mar. Podemos reescrever este problema como

$$\psi_t = -\eta, \quad \eta_t = \frac{1}{\beta}DtN[\psi],$$

onde  $\psi(x, t) = \phi(x, 0, t)$ .

Para obter uma solução numérica vamos utilizar as relações

$$\begin{aligned} \frac{\psi(x, t^{n+1}) - \psi(x, t^n)}{\Delta t} &= - \left( \eta(x, t^n) + \frac{\Delta t}{2\beta} \phi_y(x, 0, t^n) \right) + \mathcal{O}(\Delta t^2) \\ \frac{\eta(x, t^{n+1}) - \eta(x, t^n)}{\Delta t} &= \frac{1}{\beta} \frac{\phi_y(x, 0, t^{n+1}) + \phi_y(x, 0, t^n)}{2} + \mathcal{O}(\Delta t^2) \end{aligned}$$

para obter o esquema de evolução

$$\begin{aligned} \psi^{n+1} &= \psi^n - \Delta t \left( \eta^n + \frac{\Delta t}{2\beta} \phi_y^n \right) \\ \eta^{n+1} &= \eta^n + \frac{\Delta t}{2\beta} (\phi_y^{n+1} + \phi_y^n) \end{aligned}$$

onde  $\eta^n$ ,  $\psi^n$  e  $\phi_y^n$  são aproximações respectivamente de  $\eta$ ,  $\psi$  e  $\phi_y$  no instante de tempo  $t^n$ .

Para calcular  $\phi_y^n = DtN[\psi^n]$  vamos utilizar uma relação para  $DtN[\psi]$  adaptada para este caso. Através de cálculos semelhantes aos usados para obter a equação 1 (bastando substituir  $\Delta\phi$  por  $\beta\phi_{xx} + \phi_{yy}$ ), encontramos

$$DtN[\psi](x) = \frac{1}{2\pi} \int_{-\infty}^{\infty} k\sqrt{\beta} \tanh(k\sqrt{\beta}) \widehat{\psi}(k) e^{ikx} dk. \quad (2)$$

Assim, através desta equação, podemos calcular  $DtN[\psi^n]$  utilizando FFT e IFFT para trabalharmos no domínio da frequência. O seguinte código em MATLAB executa esta operação

```
function v = DtN(psi_n, beta)
    M = size(psi_n, 2);
    k = -M/2:M/2-1;

    ui = fftshift(fft(psi_n));
    sk = sqrt(beta)*k;
    vi = sk.*tanh(sk).*ui;
    v = real(iff(iffshift(vi)));
end
```



O método para encontrar  $\psi^n$  e  $\eta^n$  foi implementado com o código a seguir, onde devem ser informados os dados iniciais  $\psi^0$  e  $\eta^0$ , a profundidade  $\beta$ , o número de passos no tempo  $Nt$ , e a variação no tempo  $\Delta t$ .

```
function [psi,eta] = water_wave(psi0, eta0, beta, Nt, deltat)
    % Number of points.
    N = size(psi0, 2);

    % Initialization.
    psi = zeros(Nt,N);
    eta = zeros(Nt,N);
    psi(1,:) = psi0;
    eta(1,:) = eta0;

    % Iterations.
    lDtN = DtN(psi0, beta);
    for n = 2:Nt
        lpsi = psi(n-1, :);
        leta = eta(n-1, :);

        psi(n,:) = lpsi - deltat*(leta + 0.5*deltat/beta*lDtN);

        nDtN = DtN(psi(n,:), beta);
        eta(n,:) = leta + 0.5*deltat/beta*(nDtN + lDtN);
        lDtN = nDtN;
    end
end
```

Para testes, utilizamos como perfil inicial a gaussiana

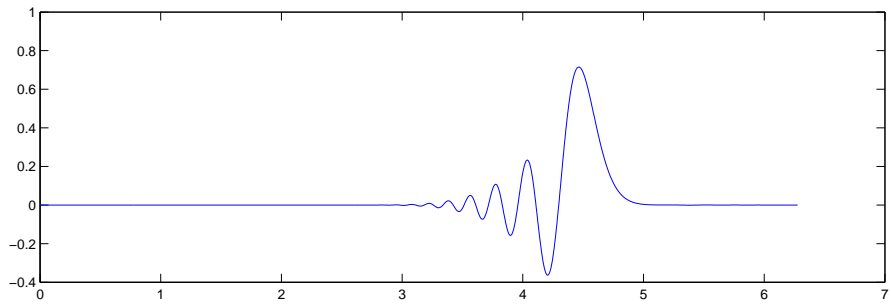
$$\psi(x, 0) = \psi_0(x) = e^{-(x-x_0)^2/\sigma^2},$$

com  $x_0 = \pi/2$  e  $\sigma = \sqrt{0.01}$ . Para a outra condição inicial precisamos definir  $\psi_t(x, 0) = -\eta(x, 0)$ , seja  $\xi(x) \equiv \psi_t(x, 0)$ , escolhendo  $\widehat{\xi}(k) = -i\omega\widehat{\psi}_0(k)$ , onde

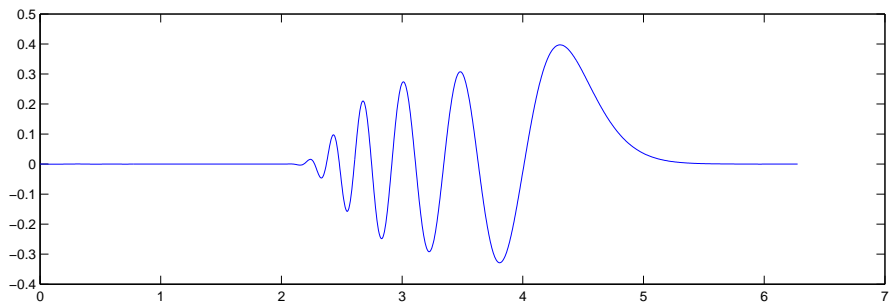
$$\omega^2 = \frac{k}{\sqrt{\beta}} \tanh(k\sqrt{\beta}),$$

fazemos com que todos os modos de oscilação no momento inicial estejam viajando para a direita [1].

A Figura 1 ilustra resultados obtidos para o potencial de velocidade em  $N = 1024$  pontos, com  $\Delta t = 0,01$ , após 300 passos no tempo utilizando diferentes valores para  $\beta$ .

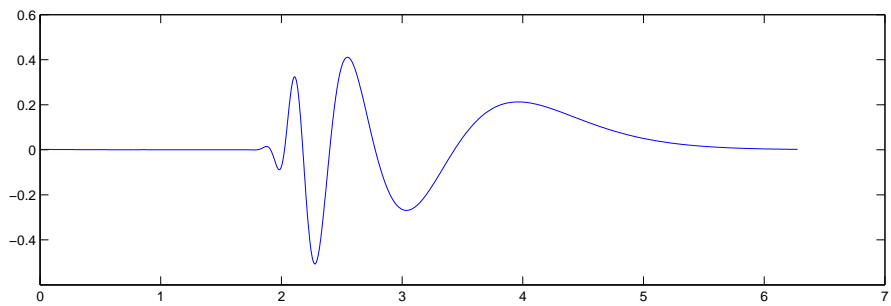


(a)  $\beta = 0.001$

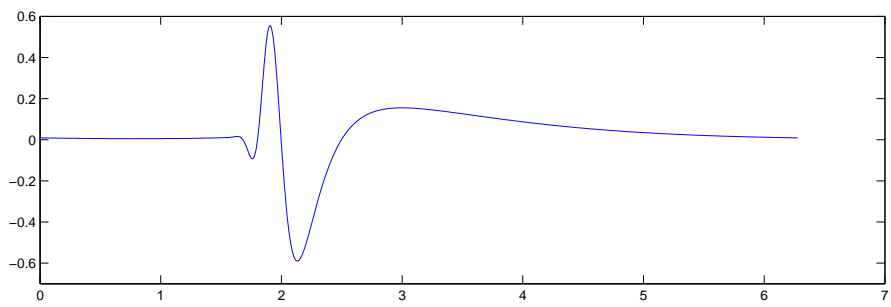


(b)  $\beta = 0.01$

Figura 1: Propagação de um potencial de velocidade: regimes fracamente dispersivos.



(a)  $\beta = 0.1$



(b)  $\beta = 1$

Figura 2: Propagação de um potencial de velocidade: dispersão completamente desenvolvida.

### 2.3 Comparação entre métodos numéricos

Utilizando o operador Dirichlet-Neumann vimos que é possível encontrar a solução  $\psi(x, t)$  e  $\eta(x, t)$  de forma eficiente utilizando apenas os dados das condições de contorno. Se fosse utilizada uma estratégia de diferenças finitas seria necessário encontrar a solução de  $\phi$  dentro da faixa  $\Omega_\beta$  a cada instante de tempo, o que seria bastante custoso e pouco eficiente. Outra estratégia é usar BIEM (*Boundary Integral Equation Method*) onde os valores de  $\phi_y$  na borda superior podem ser encontrados resolvendo equações de Fredholm, o problema se limita então à borda, mas a cada instante é preciso resolver um sistema denso, não-simétrico, o que também é custoso se comparado ao cálculo de FFT utilizado para o operador Dirichlet-Neumann. Além de mais eficiente, o cálculo de FFT possui precisão espectral, enquanto que o sistema do BIEM pode ser mal-condicionado, levando a soluções pouco precisas. Logo o operador  $DtN$  se mostra uma ferramenta útil na resolução numérica do problema.

### 2.4 Regime de águas rasas

Quando  $\beta \ll 1$  estamos no regime de águas rasas (ou ondas longas). Vamos analisar o que ocorre quando  $\beta$  tende a zero.

Inicialmente podemos eliminar o  $\eta$  do sistema fazendo:

$$\begin{aligned}\psi_{tt} = \eta_t &= -\frac{1}{\beta}DtN[\psi] \\ &= -\frac{1}{\beta\sqrt{2\pi}} \int_{-\infty}^{\infty} -i\sqrt{\beta} \tanh(k\sqrt{\beta}) \widehat{\psi}_x(k) e^{ikx} dk \\ &= \frac{1}{\sqrt{2\pi}} \int_{-\infty}^{\infty} i \frac{1}{\sqrt{\beta}} \tanh(k\sqrt{\beta}) \widehat{\psi}_x(k) e^{ikx} dk\end{aligned}$$

Escrevendo a tangente hiperbólica como série de potências teremos:

$$\begin{aligned}\frac{1}{\sqrt{\beta}} \tanh(k\sqrt{\beta}) &= \frac{1}{\sqrt{\beta}} \sum_{n=1}^{\infty} \frac{2^{2n}(2^{2n-1})B_{2n}(k\sqrt{\beta})^{2n-1}}{(2n)!} \\ &= \sum_{n=1}^{\infty} \frac{2^{2n}(2^{2n-1})B_{2n}k^{2n-1}\beta^{n-1}}{(2n)!} \\ &= k + \sum_{n=2}^{\infty} \frac{2^{2n}(2^{2n-1})B_{2n}k^{2n-1}\beta^{n-1}}{(2n)!},\end{aligned}$$

onde  $B_n$  é o  $n$ -ésimo número de Bernoulli

$$B_n = \sum_{k=0}^n \sum_{v=0}^k (-1)^v \binom{k}{v} \frac{v^n}{k+1}.$$

Quando  $\beta \rightarrow 0$  teremos então  $\frac{1}{\sqrt{\beta}} \tanh(k\sqrt{\beta}) \rightarrow k$ , logo neste limite teremos

$$\begin{aligned}\psi_{tt} &= \frac{1}{\sqrt{2\pi}} \int_{-\infty}^{\infty} ik \widehat{\psi}_x(k) e^{ikx} dk \\ &= \frac{1}{\sqrt{2\pi}} \int_{-\infty}^{\infty} \widehat{\psi}_{xx}(k) e^{ikx} dk \\ &= \psi_{xx}.\end{aligned}$$

Portanto o sistema tende à equação da onda  $\psi_{tt} - \psi_{xx} = 0$ .

Sabemos que a solução desta equação é

$$\psi(x, t) = \frac{1}{2} (\psi_0(x + t) + \psi_0(x - t)) + \frac{1}{2} \int_{x-t}^{x+t} \xi(s) ds,$$

onde  $\psi_0(x) = \psi(x, 0)$  e  $\xi(x) = \psi_t(x, 0)$  são as condições iniciais. Em particular para  $\xi(x) = 0$  temos duas ondas viajando para lados opostos. Podemos verificar isto numericamente com o programa descrito anteriormente. Definindo  $\beta = 0,00001$  usando  $N = 256$  pontos,  $\eta_0 = 0$ , utilizando a mesma função gaussiana usada anteriormente, mas com  $x_0 = 3$  obtemos o resultado ilustrado na Figura 3.

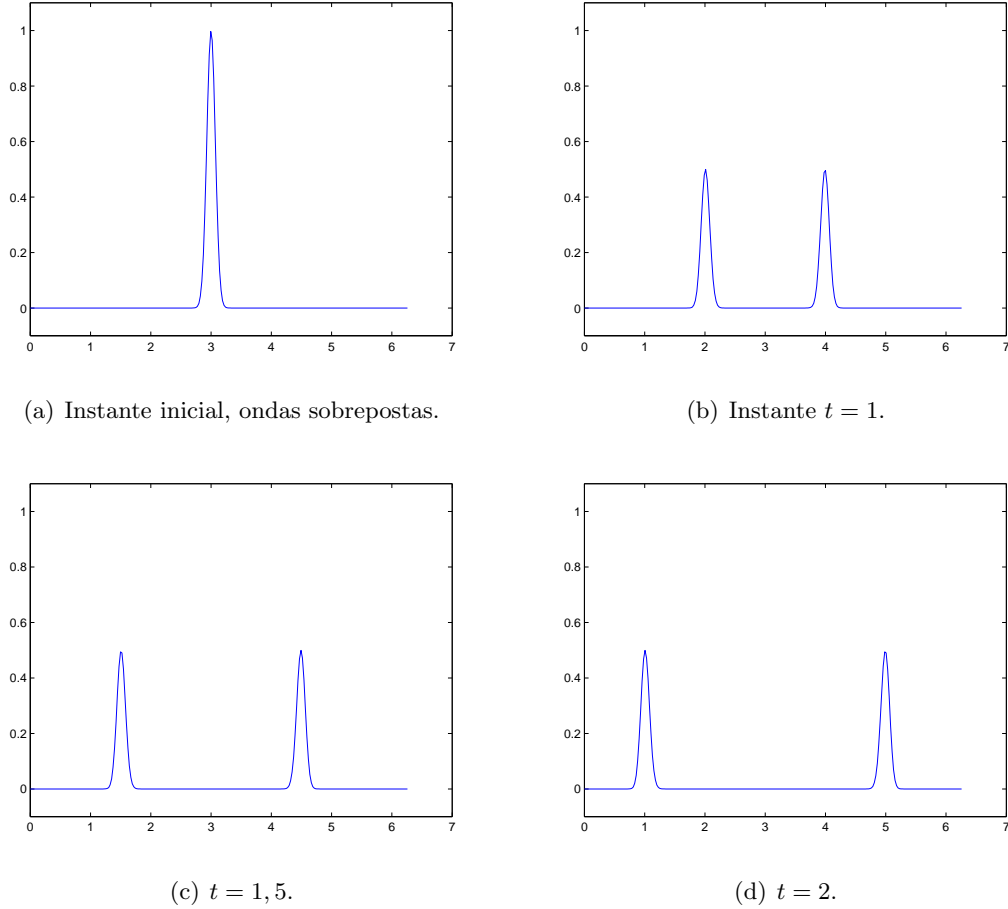


Figura 3: Regime de águas rasas.

## Referências

- [1] William Artiles and André Nachbin. Asymptotic nonlinear wave modeling through the dirichlet-to-neumann operator. *Methods and Applications of Analysis*, 11(4):475–492, December 2004.
- [2] Richard L. Burden and Douglas J. Faires. *Numerical Analysis*. Brooks Cole, 7 edition, December 2000.
- [3] David Kincaid and Ward Cheney. *Numerical analysis: mathematics of scientific computing*. Brooks/Cole Publishing Co., Pacific Grove, CA, USA, second edition, 1996.